

# 从熔体中生长金属和半导体 单晶技术的进展

王渭源 徐元森

(中国科学院冶金研究所)

## 引言

天然单晶中有相当多的缺陷，诸如位错、杂质偏析等，往往不能满足研究及工业上的要求。在人工培养的单晶中，缺陷大为减少；而且，用人工方法还能培养出一定缺陷、各种形状及天然不存在的单晶。

根据母相状态，晶体生长可分为从气相、溶液、熔体及固体中生长四种情况。有关晶体生长机理及技术，已发表了很多论文及专著。前者（生长机理方面）可参看 1949 年 Faraday 学会讨论会刊，1958 年在 Cooperstown 举行的晶体生长和完整性会议的论文集，苏联 1956—1964 年四次晶体生长会议的论文集等；后者（生长技术方面）将在下面叙述\*。

在上述四种方法中，从熔体中生长金属、半导体、半金属及盐类等晶体在目前应用得最为广泛。虽然已对这一方法的生长机理进行了很多研究，取得了一定的进展，但主要是为了生长一定大小、形状、一定缺陷的单晶，主要还是依靠技术。

本文的目的是总结从熔体中生长金属和半导体单晶技术的进展，包括生长方法及缺

陷、外形控制两个方面，并以后者为重点。

## 一 生 长 方 法

对于一般熔点较低的金属，可以用 Bridgman 法或 Czochralski 法生长单晶。在 Bridgman 法中，熔融的金属经由高温区移向低温区时，在液、固平衡温度发生了结晶。加热的热源，一般采用电阻丝炉。实验装置可以是横的或直的，前者的优点是易于添加籽晶。在 Czochralski 法中，夹在籽晶杆上的籽晶下降接触处于固、液平衡温度的熔体表面，润湿后缓慢提升，晶体就在籽晶上生长。为使坩埚内熔体温度及杂质分布均匀，坩埚及籽晶杆设计成相反方向旋转。加热可以采用高频感应或碳阻发热。

这两种方法都有其悠久的历史，并一再经过改进。应用这两种方法，已生长了一系列金属、半导体及金属间化合物等的单晶。（参阅 Willadson、Goering<sup>[1]</sup> 及 Gilman<sup>[2]</sup> 主编的专集中有关的总结）。两种方法的最高使用温度是相似的，都取决于容器材料。应用

\* 为精简篇幅，本文中只列出主要的参考文献。某些虽然是主要的，但已为大家熟知的生长单晶方法，则未列出参考文献。

Bridgman 法, Modrzejewski 和 Bednarski<sup>[3]</sup> 生长的 Zn、Al、Cu 单晶的直径达 8.5 厘米, Mg 单晶的直径达 4.5 厘米。应用 Czochralski 法, Runyan<sup>[4]</sup> 生长了直径 15 厘米的 Ge、Si 单晶。就控制单晶的完整性、晶体中杂质及生长速度来说, 后一方法是比较有利的。但若我们希望生长一定形状例如一定尺寸拉力试样的单晶, 则只能应用 Bridgman 法。下面将要指出, 在生长管状、片状单晶上, 应用 Czochralski 法已经有了成功的例子。

1952 年 Pfann 首先在提纯材料中引进的区域熔化技术, 也可用来生长单晶。籽晶放在一个盛有多晶锭料的舟的一端, 借感应加热(对低熔点金属也可用电阻丝加热)造成一个熔区, 并缓慢移动, 如是数次后可得整锭单晶。

对于难熔及化学性活泼的金属, 不能用上述三种方法生长单晶。Keck 和 Golay<sup>[5]</sup>, Emeis<sup>[6]</sup> 及 Theulrer<sup>[7]</sup> 设计的悬浮区域熔化补充了这一不足。熔区是垂直移动的, 在熔区处的熔体, 靠其界面张力而得以维持。用感应加热浮区熔化生长硅单晶, 直径大至 25 毫米, 证明是获得高质量单晶的重要手段。浮区熔化也可以用电子束加热。用此方法, Davis, Calverly 和 Lever<sup>[8]</sup>, Allen, Maykuth 和 Jaffee<sup>[9]</sup> 生长了供研究用的 W、Mo、Nb、Fe、Ti、Ta 及 Be 单晶。

Dash 首先提出的台座法生长硅单晶, 也是针对解决坩埚沾污的, 它结合了浮区熔化及 Czochralski 法的特点。

所有靠熔体界面张力而维持熔区的浮区技术(包括台座法), 虽然在理论上多晶棒的直径没有限制, 但表面张力所能支持的熔区高度却有一个极限。具有高蒸气压力的材料, 不能用电子束来加热。

在难熔及化学性活泼的单晶生长中, 最近又发展了弧象炉<sup>[10,11]</sup> 和水冷坩埚<sup>[12]</sup>技术。前一方法可以应用于蒸气压较高的单晶(补充了电子束加热的不足), 而且很少沾污。用此方法已生长了难熔金属及无氧的硅单晶。后一方法的坩埚是一只由水冷的金属管(银或铜)编成的, 借感应加热而使坩埚内的熔体良好熔化。实验证明, 用此方法可以生长出无氧及无位错的硅单晶, 且未受银的沾污。据报导, 这一方法还用于稀土金属、Mo 及 B 的熔化。

有时, 人们要在高压下生长单晶。例如, 人造金刚石必须在 100,000 大气压、2,000°C 下生长(晶体大小 1mm); 为了阻止 CdS 熔体中组元挥发, 炉内的惰性气体需维持在 100 大气压。但也有一些晶体, 例如 Bepe-shagin 等<sup>[13]</sup> 在 10,000 大气压下生长 Al、Zn 单晶, 其目的是专为比较高压和常压下生长的单晶性质。他们设计的石墨发热体又作坩埚之用, 随着加热功率降低, 固、液平衡温度从上往下移动, 速度 0.5—1 毫米/分。生长一颗直径 4 毫米、长 50 毫米的单晶, 常压和高压下的时间为 100—150 分钟及 280—480 分钟。生长 Al、Zn 等单晶所需的温度是容易解决的, 但高至上千甚至上万大气压的高压技术(例如容器设计, 容器材料性能及测量仪表等)却是很困难的, 在此不拟叙述, 可参考有关专著。

从溶液中生长单晶, 可以比纯材料的熔点低很多的温度下进行。例如从 Sn 溶液中生长 Si 晶体, 可在 900°C 以下进行, Pt 溶液中生长 B 晶体, 可在 1,400°C 下获得。这种方法对蒸气压或分解压很高的材料更有实际意义。例如可在 5 大气压磷蒸气的钢溶液中生长 InP 单晶, 而纯 InP 在熔点时的磷蒸

气压达 60 大气压。又例如 SiC，可以从含碳的硅溶液中获得单晶。另外，有些材料低温时有相变，所以虽然可以从熔体中生长单晶，但在冷却过程中转变成了多晶。例如 Sn，若在 -20°C 的 Hg 溶液中生长，可以获得 2 厘米大的灰锡单晶。

溶剂移动法 (Travelling solvent method, 以下简称 TSM 法) 是溶液中生长晶体的一个较新的方法，最近已用此法获得纯度较高、完整性良好的 SiC、GaP、GaAs 等单晶体。该法系在二片材料中夹一薄层溶剂，其中一片材料为籽晶，另一片为原料。当溶剂加热熔化后，在熔区两端维持一个温度梯度，使得籽晶端温度略低于原料端。如此便可以使原料溶入溶剂，扩散经过熔区，在籽晶端析出而长成单晶，同时熔区便自动向原料端移动，直至原料用完为止。Tiller<sup>[14]</sup>为了探明 TSM 法中的机理曾从理论上进行了许多推导。该法的关键在于选择合适的溶剂，它必须：(1)和籽晶及原料有良好的湿润作用，(2)体系的液相线随温度的增加而上升，(3)溶液的液相线温度低于原料的熔点而且有较小的蒸气压，(4)溶剂在原料中的溶解度很低。最后一点是获得纯半导体和金属单晶的关键问题；用 Ga 为溶剂生长 GaP 和 GaAs 单晶，纯 Cr 为溶剂生长 SiC 单晶，和纯 Al 为溶剂生长大面积 Si 的  $p-n$  结等均已证明单晶体的纯度是高的。若原料—溶剂—籽晶三层材料依次由上向下排列，类似于浮区熔化便可以不用器皿，则更有利于获得纯度较高的单晶。

从溶液中生长晶体的主要缺点是溶剂的沾污和生长速度较慢。前者如上所述可以选择合适的溶剂而得到解决。后一缺点主要由于杂质向结晶界面迁移的缓慢所引起，通常

生长速度为每小时  $10^{-2}$  厘米数量级，而从纯熔体中生长时则达每小时几厘米的数量级。

## 二 单晶中缺陷和晶体外形的控制

### (一) 低位错及无位错单晶的生长

晶体中位错的存在是晶体范性形变的原因，从而影响材料强度。此外，位错还对晶体生长，杂质原子扩散，半导体中载流子寿命等极有影响。

在半导体 Si 及 Ge 方面，进行了相当多的减低位错及无位错单晶的工作。从熔体中用 Czochralski 法已能生长无位错的硅<sup>[15]</sup>及锗单晶<sup>[16]</sup>。一系列生长条件对位错密度的影响已经研究<sup>[17]</sup>。虽然从熔体中生长单晶时，位错产生的主要原因尚有争论，但已有了肯定的将位错密度降低的措施。选用位错密度较低的籽晶，并注意籽晶的准备工作；拉晶时，先拉一段直径 1—2 毫米、长 20 毫米的细颈单晶；注意熔体温度的波动，特别是在细颈拉毕开始放粗过程中应尽量减小；整个拉晶过程应使液固界面平坦，熔体表面干净及平静。

在金属方面，铝单晶研究得较多。Aust 和 Chalmers 使液固界面和生长方向倾斜及用足够慢的生长速度 (0.5 毫米/分)，在水平舟中生长出无系属结构的铝单晶<sup>[18]</sup>。Howe 和 Elbaum<sup>[19]</sup>用 Czochralski 法研究了无位错铝单晶的生长。原料为 99.995% Al，经 12 次区熔提纯。晶体生长方向  $<111>$ ，直径 0.5 毫米，长 25 毫米。用 X 射线衍射方法测定位错的结果指出，随着直径变粗及拉速增加，位错密度升高。在直径 0.15 毫米及晶体尾部尖端处未发现位错。

注意到无位错锗、硅单晶生长时减小直

径的作用，結合 Howe 和 Elbaum 的鋁單晶工作，可以認為生長小直徑無位錯的金屬晶体有比較大的可能性。無位錯的硅單晶能承受較大的熱應力而不產生位錯<sup>[15]</sup>，這一結果能否適合容易形變的金屬單晶，目前還沒有實驗結果。因此生長大直徑的金屬單晶還是一個問題。

### (二)純刃型位錯晶界的雙晶的生長

從雙籽晶生長的雙晶晶界，可作為一種晶体的內表面。在雙晶面上，雜質原子的擴散及滲透，半導體中載流子的複合機構在不同方向上有所不同。

圖 1 表示雙晶的排列。 $\angle i$  是傾斜角度， $\angle r$  是轉動角度， $\angle t$  是扭轉角度。當  $\angle t$  及  $\angle r = 0$ ，則為純刃型位錯晶界的雙晶，當  $\angle i$  及  $\angle r = 0$ ，則成純螺旋型位錯晶界的雙晶。

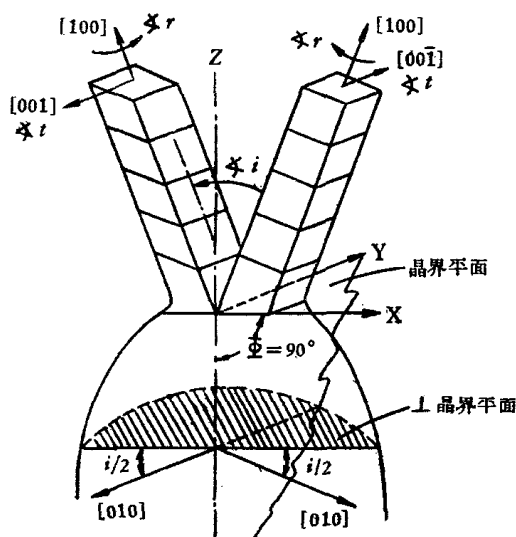


圖 1 双晶的排列及晶面<sup>[20]</sup>

生長純刃型位錯晶界的雙晶可以利用 Mataré 和 WeGener<sup>[20]</sup>報告的方法。他將二塊晶片切及磨成一定夾角( $= \angle i$ )後放在特制的籽晶夾頭內(圖 2)，然後用這種雙籽晶從熔體中拉制雙晶。利用這種方法已生長

了鎢<sup>[20]</sup>、InSb<sup>[21]</sup>、硅<sup>[22]</sup>及鎳<sup>[23]</sup>的雙晶。關於純螺旋型位錯晶界的雙晶，文獻中還未見報導過。

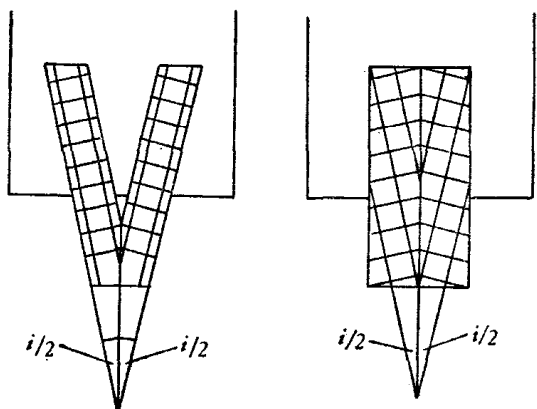


圖 2 生長純刃型位錯晶界的雙籽晶及其夾頭<sup>[20]</sup>

### (三)空心筒狀及圓盤狀單晶的生長

用作研究氣體擴散樣品的空心筒狀單晶，可以按照 Frank 和 Thomas<sup>[24]</sup>報告的方法生長。在一大單晶上，用空心鑽石鑽孔器打出不同的二個孔徑(參見圖 3)，然後

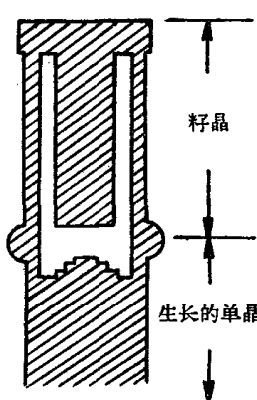


圖 3 空心筒狀單晶的生長<sup>[24]</sup>

輕輕地敲掉二個孔間的材料，就可得到一根光滑的薄壁空心筒狀籽晶。籽晶經腐蝕拋光後裝在籽晶夾頭上，朝向熔池生長，就得到圖 3 的空心筒狀單晶。根據他們的報告，新單晶不僅如通常那樣往下生長，而且極迅速地往內生長，幾乎在籽晶一開始生長時就把中心長滿。

Степанов 等<sup>[25]</sup>建議用下述的懸浮坩堝來拉空心筒狀晶体。悬浮坩埚設計成有一個環形孔洞，其直徑等於筒狀晶体直徑，晶体就

在从孔洞里冒出来的熔体中生长。虽然我們沒有見到這一工作的實驗結果，但據他們拉制片狀晶体的實驗結果(下述)，我們認為有可能生長空心筒狀晶体。

用作紅外透鏡的圓盤狀錫、硅單晶已由O'Connor<sup>[26]</sup>從熔體中用變通的Czochralski法生長(參見圖4)。夾在籽晶夾頭上的圓盤狀籽晶除以1—10轉/分轉速旋轉外，並以1.2厘米/小時速度上升。用圖4的裝置已生長了厚10毫米、直徑85毫米的圓盤狀錫、硅單晶。

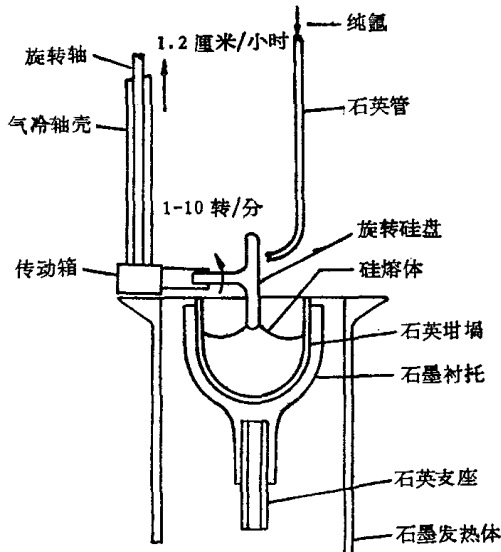


图4 圆盘状单晶的生长装置<sup>[26]</sup>

#### (四) 片状单晶的生长

这里所述的片状晶体和带式树状晶体片虽然在外形上有所相同，但生长机构是完全不同的。为便于叙述，将它们分开，后者在下一小节中介绍。

远在二十多年前，Степанов等<sup>[25]</sup>企图直接从熔体中拉制片状金属来代替金属片的一般生产工艺(鑄錠、軋片)。他們把悬浮坩埚的孔洞设计成狭长的带形(参见图5)，拉得了片状多晶体，材料为铝、铝合金及锌，有

时可拉得片状锌单晶。

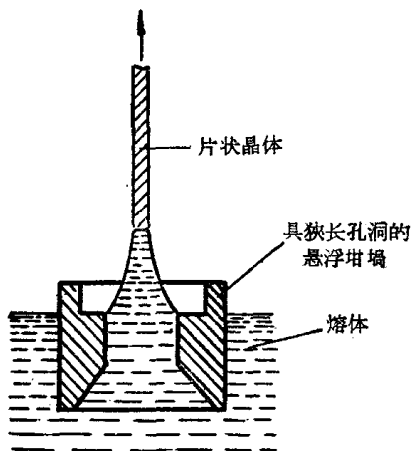


图5 从狭长孔洞的悬浮坩埚中  
生长片状晶体<sup>[25]</sup>

近来，在半导体領域內，为了提高錫、硅單晶的利用率，对生長不經加工(切割、研磨)而直接用于制造器件的片狀單晶引起了极大的兴趣。Gaulé 和 Pastore<sup>[27b]</sup>，Brissot 和 Raynaud<sup>[28]</sup>，日本专利<sup>[29]</sup>都用相似于 Степанов 等的方法生長了片狀錫單晶。生長晶片所用的拉速和一般 Czochralski 相同。所得晶片，以文献<sup>[28]</sup>为例，厚为1.5毫米，寬为30—40毫米，和一般 Czochralski 单晶錠有相同的質量。

文献中报导的“液压成片”的方法是很有趣的。Bösenberg<sup>[30]</sup>用氢气将錫熔体压入片状的石墨模具中，下端放籽晶，經定向結晶后生長得了片狀單晶。晶片長12厘米，寬2厘米，厚0.02—0.06厘米。Vávra<sup>[31]</sup>利用毛細現象，靠一个吸力将熔体吸入二片平板玻璃的狭縫(0.2毫米)中，当温度条件合適时，冷至室温、分开玻璃板，得到了表面光洁的大晶粒(几个平方厘米)的AgCl、AgBr晶片。Berry 等<sup>[2b]</sup>靠二块平板玻璃将其中的AgBr 熔体压成薄片，片的厚度靠玻璃板間填充的东西(例如鉑絲)来控制，为5—50微米。在合适的垂直于晶片方向的溫度梯度

下，可以生长出較大的无气泡的单晶。

### (五)带式树状晶片的生长

带式树状晶片最早是 Billig<sup>[32]</sup> 在过冷的鎗熔体中发现并加以研究的。以后，每年都有相当数量的論文发表，并就此举行了专门的学术會議<sup>[27a]</sup>。除鎗外，已生长了硅，InSb 等<sup>[1b]</sup> 晶片。根据 Wagner 和 Brown<sup>[33]</sup>的研究，生长出鉻和鎢的带式树状晶片也是可能的。

研究带式树状晶片生长的重要性，在半导体材料应用方面已如上小节中所述。此外，还可能是研究晶体生长机理的一种方法，例如李晶对熔体中生长晶体的影响等。

以鎗为例，带式树状晶片的生长方法大致为：用  $<2\bar{1}\bar{1}>$  的籽晶伸入熔体及潤湿后，突然使熔体过冷 5—45℃，然后用极快的拉速 3—15 厘米/分拉晶（比較詳細地介紹生长方法，可参考 Lindberg 和 Faust<sup>[1b]</sup> 的評論）。晶片厚度一般小于 0.3 毫米，寬度 ~4 毫米，并具有可弯曲的性能（对于鎗，可弯曲的圓的直径  $D = h/1.5 \times 10^{-3}$ ， $h$  是晶片厚度， $1.5 \times 10^{-3}$  是其表面形变<sup>[34]</sup>）。

晶片生长的特点在于，二个侧面  $(111)$  上的生长速度  $\rightarrow 0$ ，而  $<2\bar{1}\bar{1}>$  方向达厘米/分數量級。关于晶片結構和生长机理，限于篇幅，在此不拟叙述，有兴趣的讀者可參看有关的論文<sup>[1b, 27a]</sup>。关于生长技术，近年来往連續性方向有了进展。例如英国专利<sup>[35]</sup>报导，晶片靠一組滾輪牽引，拉出后繞在轉輪上（在文献<sup>[1b]</sup>中，也有这种装置的示意图，見图 6）。这样，要拉多长的晶片就可以拉多长。連續系統中还包括合金的掺杂和扩散。一个典型的情况是，熔体掺砷，过冷 8℃，拉速 17.5 厘米/分，晶片为 N型。一股含鋁蒸气的气流，对着晶片吹，涂上了一层鋁，經过 400℃ 退火，就形成了 P—N

結。

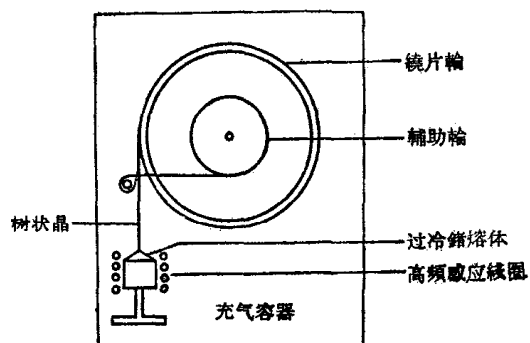


图 6 连续生长晶片的示意装置<sup>[1b]</sup>

虽然已对带式树状晶片进行了大量的研究，但这种晶片，由于其中至少有二个李晶面，垂直和平行于李晶面的材料性质不同，加上杂质偏析、位錯分布不均等問題，距离工业应用还有一定的困难。但是，最近 Dermatis, Faust<sup>[36]</sup> 关于硅片和 O'Hara<sup>[37]</sup> 关于鎗片的研究表明，利用二片相距一定距离（通常小于 10 毫米）的带式树状晶片伸入熔体（見图 7），当熔体过冷后两旁的晶片以一

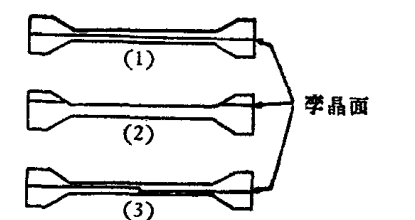
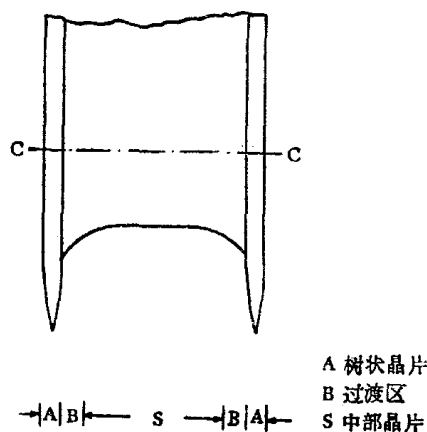


图 7 晶片及其剖面<sup>[36]</sup>  
在(2)时，中部晶片无李晶

般树状晶片方法生长，而中間部分則靠表面張力引上后凝固。靠过冷度和拉速控制两旁晶片的厚度，以此控制中間晶片的厚度。据称在一定条件下（文中未述），中間晶片是沒有孪晶和几乎没有位錯的单晶。用此方法曾生长了长 100 厘米、宽 1.2 厘米、厚  $< 8 \times 10^{-3}$  厘米的硅片。由于晶片表面光洁，便不經任何加工（研磨、抛光）而直接用于制造二极管、三极管及太阳能电池（均見 [36]）。測試表明，它和用一般 Czochralski 法生长的单晶做的器件参数相同。O'Hara 生长的锗片的尺寸（中間部分）为宽 1 厘米、厚  $10^{-2}$ — $10^{-3}$  厘米、长达几米，用此材料所作的器件参数良好。

#### （六）溶質元素均匀分布，合金及严格組分中間化合物单晶的生长

从熔体中生长合金单晶，其中的組分可能是变化的。图 8 表示含微量元素 B 的 AB

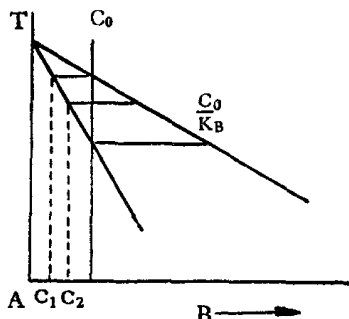


图 8 含微量元素 B 的 AB 系相图

系相图。設熔体組成为  $C_0$ ，先結晶的組成为  $C_1$ ，随着結晶进行，熔体中不断富集 B，晶体中組成沿着固相線不断变化，不能得到严格組分的单晶。对于严格組分的中間化合物 AB 不落在最高熔点組分的相图（图 9），也有这一情况。定义元素 B 的分配系数  $K_B = C_B^S / C_B^L$ ， $C_B^S$  及  $C_B^L$  分別表示晶体及熔体中 B 的浓度。用 Bridgman 或 Czochralski 法

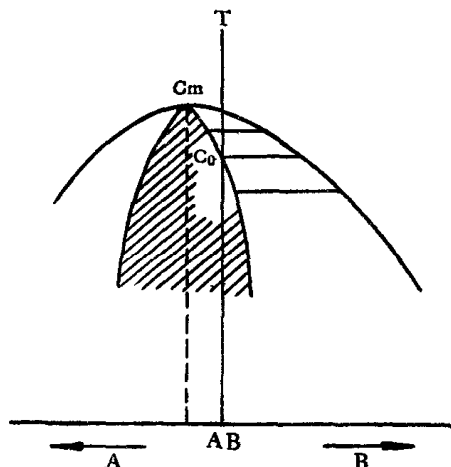


图 9 严格組分化合物 AB 不落在最  
高熔点組分的相图

生长晶体，当結晶的分数为  $x$ （= 已生长的晶体量/原始熔体总量）时，晶体中 B 的浓度符合正常凝固：

$$C_B = K_B C_0 (1 - x)^{K_B - 1}.$$

此式表示， $K_B = 1$ ， $C_B \equiv C_0$ ，当  $K_B$  越偏离 1，晶体中組分变化 B 的梯度越大。

为了克服上述缺点，提出了不少方法：大量熔体中生长一定量的晶体，例如 1,200 克熔体中生长 300 克晶体<sup>[38]</sup>；更进一步的改进是采用二只并联坩埚，一只拉晶，另一只熔入純晶体以冲淡前一坩埚中 B，使浓度恆定<sup>[39]</sup>；还有双层坩埚法<sup>[40]</sup>及悬浮坩埚法<sup>[38,41,42]</sup>。在此不拟詳加介紹及比較，仅对 Goorissen 的悬浮坩埚法作一說明。參見图 10。依靠熔体的浮力及表面張力和坩埚重及悬重平衡，使坩埚得以悬浮。晶体生长后，大坩埚內的料借小孔流入小坩埚而使小坩埚內的熔体量不变。設小坩埚內 B 的最初浓度为  $C_i$ ，大坩埚內 B 的最初浓度（一直到最后还是）为  $C_0$ ， $m$  及  $m_i$  各表示已生长的晶体重量及小坩埚內熔体重量，我們导得对应于  $m$  时晶体內 B 的浓度

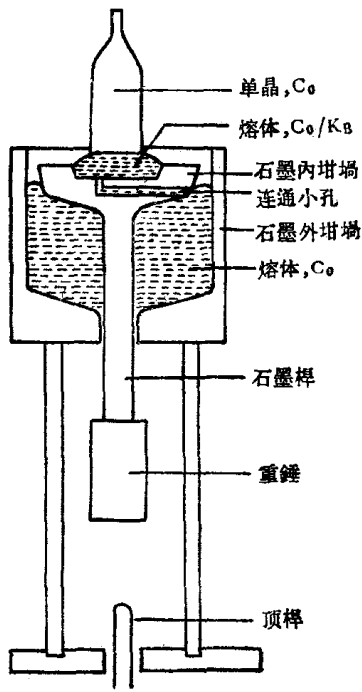


图 10 用悬浮坩埚生长均质鎗单晶<sup>[42]</sup>

$$C_B = C_0 - (C_0 - K_B C_i) \exp(-K_B m/m_i)$$

当  $C_i = C_0/K_B$ ,  $C_B \equiv C_0$ 。这一結果在图 8、图 9 上也可定性地看出。

悬浮坩埚在生长半导体单晶中，获得了显著的效果。例如掺锑的鎗单晶 ( $K_B = 0.003$ )，整个锭长内  $C_B$  只有  $\pm 15\%$ <sup>[42]</sup> 的起伏(一般方法也有)，而一般方法锭首至锭尾的浓度要差 1000% 以上。用悬浮坩埚拉得的  $\text{Bi}_2\text{Te}_3$  单晶，90% 锭长的热电势值为 150  $\pm 3$  毫伏/ $^{\circ}\text{C}$ <sup>[41]</sup>。

对于 AB 固溶体系，若  $C_0$  及  $C_i$  的液相線温度差过大，用悬浮坩埚恐有困难，有待以后改进。应用上述 Пётров<sup>[39]</sup> 的方法，Белокурова 等<sup>[43]</sup> 生长了硅分布均匀的  $N_{\text{Si}} = 0.02$  的 Ge-Si 合金单晶。

### 三 结 語

从熔体中生长金属、半导体单晶具有許多优点：(1)生长速度快，(2)晶体大，(3)

缺陷少，(4)形状容易控制等。所以其生长技术进展得甚为迅速。

但是，对于某一种材料，采用上述四种方法中那一种方法生长单晶体，这要看材料的性质(熔点、蒸气压、化学活泼性等)及对单晶的要求(缺陷和外形)而定。如何获得高纯度和高完整性的单晶一直是单晶生长工作者努力的方向，因为这个问题是否得到良好的解决，直接影响材料的实际应用和研究价值。在鎗和硅方面，原料的高度提纯，高温熔体沾污的减少，单晶生长技术的不断革新等已使鎗和硅的单晶生长得以工业化，可以預計它将对其他材料的单晶生长提供一定的經驗。

應該指出，单晶生长是技术性很强的工作，它要求精密的温度控制，严格的化学成分，完善的机械装置和熟练的操作技术。随着新技术的不断出現，自动化及程序控制的采用，单晶生长的技术也将不断进步，而工作中繁重的劳动将逐步得到改善，劳动生产率将不断得以提高。

- [1] (a) Willadson R. K., Goering H. L. (Editor), *Compound Semiconductors*, 1, Preparation of III-V Compounds, Reinhold, 1962.  
(b) Lindberg O., Faust J. W. Jr., 同 (a), p. 294.
- [2] (a) Gilman J. J. (Editor), *The Art & Science of Growing Crystals*, Wiley, 276—397, 1963.  
(b) Berry C., et al., 同 (a), p. 214.
- [3] Modrzejewski A., Bednarski S., Polish Acad. Science Inst. Nuclear Research, Report No. 244/I—13, 1961.
- [4] Runyan W. R., *Rev. Scient. Instrum.*, 30, 535 (1959).
- [5] Keck P. H., Golay M. J. E., *Phys. Rev.*, 89, 1297 (1953).
- [6] Emeis R., *Z. Naturforsch.*, 9a, 67 (1954).
- [7] Theulre H. C., *Trans. AIME*, 206, 1316 (1956).
- [8] Davis M., Calverly A., Lever R. F., *J. Appl. Phys.*, 27, 195 (1956).

- [ 9 ] Allen B. C., Maykuth D. J., Jaffee R. I., *J. Inst. Metals*, **90**, 120 (1961).
- [10] Delarue R. E., Holden F. A., *Rev. Sci. Instrum.*, **31**, 35 (1960).
- [11] Poplawsky R. P., Thomas J. J. F., *Rev. Sci. Instrum.*, **31**, 1303 (1960).
- [12] Sterling H. F., Warren R. W., *Nature*, **192**, 745L (1961).
- [13] Верещагин Л. Ф., Рябинин Ю. Н., Преображенский А. Я., Степанов В. А., *Док. АН СССР*, **135**, 45 (1960).
- [14] Tiller W. A., *J. Appl. Phys.*, **34**, 2757 (1963).
- [15] Dash W. C., *Growth & Perfection of Crystals*, Edited by Doremus R. H., Robert B. W., Turnbull D., Wiley, 361, 1958.
- [16] Okkerse B., *Philips Tech. Review*, **21**, 340 (1959/1960).
- [17] Rosi F. D., *RCA Review*, **19**, 349 (1958).
- [18] Aust K. T., Chalmers B., *Canad. J. Phys.*, **86**, 977 (1958).
- [19] Howe S., Elbaum C., *Phil. Magz.*, **6**, 1227 (1961); *J. Appl. Phys.*, **32**, 742 (1961).
- [20] Mataré H. F., WeGener H. A. R., *Zeits. Phys.*, **148**, 631 (1957).
- [21] Weinreich O., Mataré H. F., Reed B., *Solid State Phys.*, **1**, *Semiconductors*, Part 1, Edited by Desirant M., Michilels J. E., 97, 1960.
- [22] Gereth R., *J. Electrochem. Soc.*, **109**, 1068 (1962).
- [23] Bishop G. H., et al., *Trans. AIME*, **224**, 1299 (1962).
- [24] Frank R. C., Thomas J. J. E., *J. Appl. Phys.*, **31**, 1689 (1960).
- [25] Степанов А. В. и т. д., *Ж. тех. физ.*, **29**, 381; 394 (1959).
- [26] O'Connor J. R., McLaglin W. A., *J. Appl. Phys.*, **29**, 222 (1958).
- [27] (a) Grubel R. D. (Editor), *Metallurgy of Elemental & Compound Semiconductors*, Interscience Publ. Inc., New York, **12**, 79—199 (1960).  
 (b) Gaulé G. K., Pastore J. R., 同 (a), p. 201.
- [28] Brissot J. J., Raynaud H., *Electrochem. Technol.*, **1**, 304 (1963).
- [29] 日本专利, 昭 38—5323 (1963).
- [30] Bösenberg W., *Zeits. angew. Physik*, **9**, 347 (1957).
- [31] Vávra F., *Czech. J. Phys.*, **13**, 846 (1963).
- [32] Billig E., *Proc. Roy. Soc., Ser. A* **229**, 346 (1955).
- [33] Wagner R. S., Brown H., *Trans. AIME*, **224**, 1185 (1962).
- [34] Bennett A. I., Longini R. L., *Phys. Rev.*, **116**, 53 (1959).
- [35] Brit. Patent, 913, 674—913, 678 (摘要见 *Chem. Abstr.*, **58**, 6275b).
- [36] Dermatis S. N., Faust J. W. Jr., *IEEE Trans. Communication and Electronics*, [65], 94 (1963).
- [37] O'Hara S., *J. Appl. Phys.*, **35**, 409; 686 (1964).
- [38] Leverton W. F., *J. Appl. Phys.*, **29**, 1241 (1958).
- [39] Петров Д. А. и т. д., Вопросы metallurgии и физики полупроводников, Изд. АН СССР, Москва, 50 (1957).
- [40] Воронов Б. К., и т. д., Вопросы metallurgии и физики полупроводников, Изд. АН СССР, Москва, 51 (1961).
- [41] Айрапетянц С. В., Шмелев Г. И., *Физ. твердого тела*, **2**, 747 (1960).
- [42] Goorissen J., *Philips Tech. Rev.*, **21**, 185 (1959/1960).
- [43] Белокурова И. Н., и т. д., *Изв. АН СССР, OTH*, [1], 9 (1959).